沉香提取物对皮质酮诱导 PC12 细胞损伤的保护作用及机制研究

马家乐, 符昭君, 王鑫玉, 靳凤玉, 赵一慕, 孟英心, 王凌潇, 李 军*, 郑 姣* 北京中医药大学中药学院 中药现代研究中心, 北京 100029

摘 要:目的 利用皮质酮诱导大鼠肾上腺髓质嗜铬瘤分化细胞株 PC12 损伤,模拟糖皮质激素诱发神经功能障碍的病理过程,探讨沉香提取物对神经细胞的保护作用及其机制。方法 采用 400 μ mol/L 皮质酮诱导的 PC12 细胞作为神经元损伤模型,给予沉香提取物(5、10、20 μ g/mL)干预细胞 24 h 后,利用 CCK-8 试剂盒检测细胞存活率,采用 Hoechst 33258 染色和流式细胞术检测细胞凋亡率;通过 Western blotting 检测凋亡相关蛋白半胱氨酸天冬氨酸蛋白酶-3(cystein-asparate protease-3,Caspase-3)、cleaved Caspase-3、聚腺苷酸二磷酸核糖转移酶[poly(ADP-ribose)polymerase,PARP]、cleaved PARP 表达情况。结果 与对照组比较,皮质酮处理 PC12 细胞 24 h 后细胞存活率显著降低(P<0.01),细胞凋亡率显著升高(P<0.01),cleaved PARP/PARP和 cleaved Caspase-3/Caspase-3 蛋白表达水平显著升高(P<0.01)。与模型组比较,给予沉香提取物 24 h 后细胞存活率显著升高(P<0.05、0.01),凋亡率显著降低(P<0.01)。cleaved PARP/PARP和 cleaved Caspase-3/Caspase-3 蛋白表达水平显著降低(P<0.01)。结论 沉香提取物通过调控 Caspase-3/PARP 通路改善皮质酮诱导的 PC12 细胞凋亡,从而保护神经元。

关键词: 沉香; PC12 细胞; 神经损伤; 皮质酮; 凋亡; 半胱氨酸天冬氨酸蛋白酶-3; 聚腺苷酸二磷酸核糖转移酶

中图分类号: R285.5 文献标志码: A 文章编号: 0253 - 2670(2022)04 - 1093 - 07

DOI: 10.7501/j.issn.0253-2670.2022.04.016

Protective effect and mechanism of *Aquilariae Lignum Resinatum* extract on corticosterone induced PC12 cells injury

MA Jia-le, FU Zhao-jun, WANG Xin-yu, JIN Feng-yu, ZHAO Yi-mu, MENG Ying-xin, WANG Ling-xiao, LI Jun, ZHENG Jiao

Modern Research Center for Traditional Chinese Medicine, School of Chinese Materia Medica, Beijing University of Chinese Medicine, Beijing 100029, China

Abstract: Objective Corticosterone was used to induce the injury of rat adrenal medulla pheochromocytoma cell line PC12 to simulate the pathological process of glucocorticoid-induced neurological dysfunction, so as to explore the protective effect and mechanism of Chenxiang (*Aquilariae Lignum Resinatum*) extract on nerve cells. **Methods** PC12 cells induced by 400 µmol/L corticosterone were used as neuron injury model. After 24 h of intervention with *Aquilariae Lignum Resinatum* extract (5, 10, 20 µg/mL), cell survival rate was detected by CCK-8 kit; Hoechst 33258 staining and flow cytometry were used to detect cell apoptosis rate; Western blotting was used to detect apoptosis-related proteins cystein-asparate protease-3 (Caspase-3), cleaved Caspase-3, poly(ADP-ribose)polymerase (PARP) and cleaved PARP expressions. **Results** Compared with control group, survival rate of PC12 cells treated with corticosterone for 24 h was significantly decreased (P < 0.01), apoptosis rate was significantly increased (P < 0.01). Compared with model group, survival rate of P12 cells treated with *Aquilariae Lignum Resinatum* extract for 24 h was significantly increased (P < 0.05, 0.01), apoptosis rate was significantly decreased (P < 0.01), cleaved PARP/PARP and cleaved Caspase-3/Caspase-3 protein expressions were significantly decreased (P < 0.01). Conclusion *Aquilariae Lignum Resinatum* extract improves corticosterone-induced apoptosis of PC12 cells by regulating PARP/Caspase-3 pathway, thereby protecting neurons.

Key words: Aquilariae Lignum Resinatum; PC12 cells; nerve injury; corticosterone; apoptosis; Caspase-3; poly(ADP-ribose)polymerase

基金项目: 国家自然科学基金资助项目(82003912); 国家重点研发项目(2018YFC1706400)

作者简介:马家乐(1997—),女,硕士研究生,研究方向为中药药理学。Tel: 17864191175 E-mail: 17864191175@163.com

收稿日期: 2021-11-03

^{*}通信作者: 李 军,博士生导师,研究员,主要从事中药药效物质及作用机制研究。E-mail: drlj666@163.com

郑 姣,硕士生导师,副研究员,主要从事中药药理研究。E-mail: zj98v2@163.com

重度抑郁症(major depressive disorder,MDD) 是一种常见的致残性精神障碍疾病,影响着全世界 约 3.5 亿人[1-2]。当抑郁症发生时,机体感受到应激 源激活下丘脑-垂体-肾上腺 (hypothalamic-pituitaryadrenal, HPA)轴,从而导致肾上腺皮质合成糖皮 质激素 (glucocorticoids, GCs)。GCs 在机体代谢、 免疫功能等多种生命活动过程的调节中起着至关重 要的作用。GCs 的分泌和血液中 GCs 的水平可通过 HPA 轴的负反馈抑制来调节[3]。由于极端或慢性压 力,持续暴露于血液中高浓度的 GCs 会导致 HPA 轴和负反馈机制的功能障碍,导致 GCs 过度分泌, 从而对神经系统造成损害[4]。中枢神经系统慢性应 激诱导的神经元细胞死亡是神经功能障碍的原因之 一,包括记忆丧失、学习障碍和认知障碍,还可能 引发焦虑和抑郁等精神障碍[5]。啮齿动物体内的 GCs 主要是皮质酮,由于 HPA 反馈功能障碍,持续 暴露于高浓度皮质酮可引起病理性海马神经元损 伤,诱发抑郁样行为[6]。因此,改善皮质酮诱导的神 经元损伤已成为治疗焦虑和抑郁的潜在靶标。

沉香为瑞香科沉香属植物白木香 Aquilaria sinensis (Lour.) Gilg 含树脂的木材,是沉香四味散、 八味沉香散、沉香化气丸等经典名方的主要组成药 味。沉香作为名贵中药材已有千年应用历史,被列 为"沉檀龙麝"四香之首,具有非常宝贵的药用价 值。沉香作为药物始载于梁代陶弘景的《名医别录》, 名列上品,曰:"沉香、薰陆香、鸡舌香、藿香、詹 糖香、枫香并微温。悉治风水毒肿,去恶气"。在《本 草纲目》中,李时珍就用"去恶气,清人神"来描 述沉香的功效。现代药理学研究表明,沉香具有镇 静催眠、抗焦虑、抗抑郁的作用, 但仅为活性筛选 和药效评价,尚未深入阐明沉香镇静安神的作用机 制[7-10]。 大鼠肾上腺髓质嗜铬瘤分化细胞株 PC12 是 一种具有典型神经元特征并具有高水平 GCs 受体 的细胞系,已被用作模拟高浓度皮质酮刺激时海马 神经元损伤的经典模型。因此本研究利用皮质酮诱 导的 PC12 细胞模型,初步探究沉香提取物的神经 保护作用和机制,为沉香防治抑郁症提供研究基础 和依据。

1 材料

1.1 细胞

PC12 细胞由北京大学曾克武教授赠予。

1.2 药材

沉香购自海南,经北京大学屠鹏飞教授鉴定为

瑞香科植物白木香 A. sinensis (Lour.) Gilg 含树脂的木材。

1.3 试剂

DMEM 培养基 (批号 11965092)、青霉素-链霉 素双抗 (批号 15140163)、胎牛血清 (批号 12483020)、PBS 溶液(批号 20012050)、胰酶(批 号 25200072) 均购自美国 Gibco 公司; CCK-8 试剂 盒(批号BN15201)购自北京拜尔迪生物技术有限 公司;皮质酮(批号 S30265)购自上海源叶生物科 技有限公司; Hoechst 33258 (批号 23491-45-4) 购 自北京索莱宝科技有限公司; Annexin V-FITC/碘化 丙啶(PI)双染细胞凋亡试剂盒(批号556547)购 自美国 BD 公司; RIPA 裂解液 (批号 P0013B) 购自 上海碧云天生物技术有限公司; 半胱氨酸天冬氨酸 蛋白酶-3 (cystein-asparate protease-3, Caspase-3) 抗 体(批号 14220S)、聚腺苷酸二磷酸核糖转移酶 [poly(ADP-ribose)polymerase, PARP] 抗体(批号 9532T)、β-actin 抗体 (批号 3700T)、HRP 标记的山 羊抗兔抗体(批号 7074P2)均购自美国 CST 公司。

1.4 仪器

多功能酶标仪 (美国 PerkinElmer 公司); 冷冻 离心机 (美国 Eppendorf 公司); CriterionTM 型电泳 槽 (美国 Bio-Rad 公司); DYY-6D 型电泳仪 (北京 六一仪器厂); 细胞培养箱 (日本 Sanyo 公司); 倒 置荧光显微镜 (德国 Leica 公司); 流式细胞仪 (美 国 BD 公司); 分析型高效液相色谱仪 (HPLC, 日 本岛津公司)。

2 方法

2.1 沉香提取物的制备

取沉香药材粉末 10 kg, 分别用 10、8、8 倍量 95%乙醇回流提取 3 次,每次 2 h,共得到 3 kg 浸膏,即为沉香提取物(由北京中医药大学现代研究中心化学实验室提供)。经 HPLC 检测沉香提取物中沉香四醇质量分数为 1.89%。

2.2 PC12 细胞培养

PC12 细胞用含 10%胎牛血清、1%双抗的 DMEM 完全培养基,于 5% CO₂、37 $^{\circ}$ C的恒温培养箱中培养。待 $2\sim3$ d 细胞融合度达到 80%时,用 0.125%的胰酶消化,进行传代处理。

2.3 皮质酮对 PC12 细胞存活率的影响

取对数生长期的 PC12 细胞,以 4×10^4 /mL 接种于 96 孔板中,每孔 100 μ L,培养 24 h。设置空白组、对照组和实验组。空白组不加入细胞,加入

完全培养基后不做任何处理;对照组用完全培养基正常培养 PC12 细胞;实验组分别加入 $100 \, \mu L$ 终浓度为 $200 \, \cdot 400 \, \cdot 600 \, \cdot 800 \, \cdot 1000 \, \mu mol/L$ 的皮质酮处理细胞。培养 $24 \, h$ 后,每孔加入 $10 \, \mu L$ CCK-8 工作液,37 °C 孵育 $1 \, h$,采用酶标仪测定 $490 \, nm$ 处的吸光度 (A) 值,计算细胞存活率。

细胞存活率= $(A_{\Sh} - A_{\Sh})/(A_{NH} - A_{\Sh})$

2.4 沉香提取物对 PC12 细胞存活率的影响

取对数生长期的 PC12 细胞,以 4×10⁴/mL 接种于 96 孔板中,每孔 100 μL,培养 24 h。设置空白组、对照组和实验组。空白组不加入细胞,加入完全培养基后不做任何处理;对照组用完全培养基正常培养 PC12 细胞;实验组分别加入 100 μL 终质量浓度为 10、50、100、200 μg/mL 的沉香提取物处理细胞。培养 24 h 后,采用 CCK-8 法检测细胞存活率。

2.5 沉香提取物对皮质酮诱导的 PC12 细胞损伤模型细胞存活率的影响

取对数生长期的 PC12 细胞,以 4×10⁴/mL 接种于 96 孔板中,每孔 100 μL,培养 24 h。设置空白组、对照组、模型和给药组。空白组不加入细胞,加入完全培养基后不做任何处理;对照组用完全培养基正常培养 PC12 细胞;模型组和给药组加入终浓度为 400 μmol/L 的皮质酮;给药组再分别加入终质量浓度为 5、10、20 μg/mL 的沉香提取物处理细胞。培养 24 h 后,采用 CCK-8 法检测细胞存活率。

2.6 Hoechst 33258 染色检测细胞凋亡情况

取对数生长期的 PC12 细胞,以 8×10^4 /mL 接种于 6 孔板中,培养过夜。按"2.5"项下方法分组及给药,吸去培养液,加入 0.5 mL 4%多聚甲醛组织固定液,固定 20 min; PBS 溶液洗涤 2 次,加入 0.5 mL Hoechst 33258 染色液,37 °C避光染色 20 min; PBS 溶液洗涤 2 次,于荧光显微镜下观察各组细胞形态并拍照。

2.7 流式细胞术检测细胞凋亡率

按"2.6"项下方法分组及给药,用 0.125%胰酶 消化成单细胞悬液, 收集细胞; PBS 溶液洗涤 2 次, 1000 r/min 离心 5 min,收集细胞; 加入 $190 \text{ µL } 1 \times 1000 \text{ r/min}$ 图以 $190 \text{ µL } 1 \times 1000 \text{ r/min}$ 图以 $190 \text{ µL } 1 \times 1000 \text{ r/min}$ 图以 $190 \text{ µL } 1 \times 1000 \text{ r/min}$ 图以 $190 \text{ µL } 1 \times 1000 \text{ r/min}$ 图以 $190 \text{ µL } 1 \times 1000 \text{ r/min}$ 图以 $190 \text{ µL } 1 \times 1000 \text{ r/min}$ 图以 $190 \text{ µL } 1 \times 1000 \text{ r/min}$ 图以 $190 \text{ µL } 1 \times 1000 \text{ r/min}$ 图以 $190 \text{ µL } 1 \times 1000 \text{ r/min}$ 图以 $190 \text{ µL } 1 \times 1000 \text{ r/min}$ 图以 $190 \text{ µL } 1 \times 1000 \text{ r/min}$ 图以 $190 \text{ µL } 1 \times 1000 \text{ r/min}$ 图以 $190 \text{ µL } 1 \times 1000 \text{ r/min}$ 图以 $190 \text{ µL } 1 \times 1000 \text{ r/min}$ $190 \text{ µL } 1 \times 1000 \text$

2.8 Western blotting 检测细胞凋亡相关蛋白表达按"2.6"项下方法分组及给药, PBS 溶液洗涤

2 次,于冰上用含蛋白酶抑制剂的 RIPA 裂解液裂解细胞,提取蛋白,99 ℃加热 10 min 使蛋白变性。蛋白样品经 10%十二烷基硫酸钠-聚丙烯酰胺凝胶电泳,转至 PVDF 膜,于 5%脱脂牛奶中封闭 1 h,分别加入 Caspase-3、PARP、β-actin 抗体,4 ℃孵育过夜;TBST 洗涤 3 次,加入 HRP 标记的山羊抗兔抗体,4 ℃孵育 4 h;TBST 洗涤 3 次后显影成像,用 Image J 软件进行灰度分析。

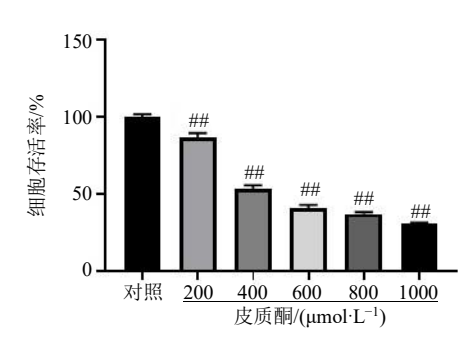
2.9 统计学分析

实验数据采用 Graphpad Prism 8.0 软件进行统计学分析,计量资料用 $\bar{x} \pm s$ 表示,两组之间比较采用 t 检验。

3 结果

3.1 皮质酮对 PC12 细胞存活率的影响

如图 1 所示,皮质酮(200、400、600、800、1000 μ mol/L)刺激 PC12 细胞 24 h 后,细胞存活率均显著降低 (P<0.01),表明皮质酮能抑制 PC12 细胞生长,且呈剂量相关性。400 μ mol/L 皮质酮刺激 PC12 细胞 24 h 后,细胞存活率为 50%,因此选择 400 μ mol/L 皮质酮刺激 PC12 细胞 24 h 作为神经元细胞损伤模型的实验条件。



与对照组比较: ${}^{\#}P$ <0.01, 图 2 同 ${}^{\#\#}P$ < 0.01 vs control group, same as fig. 2

图 1 皮质酮对 PC12 细胞存活率的影响 $(\bar{x} \pm s, n = 3)$ Fig. 1 Effect of corticosterone on survival rate of PC12 cells $(\bar{x} \pm s, n = 3)$

3.2 沉香提取物对 PC12 细胞存活率的影响

如图 2 所示,与对照组相比,沉香提取物(10、50、100 μ g/mL)对 PC12 细胞存活率无显著影响,沉香提取物(200 μ g/mL)组 PC12 细胞存活率显著降低(P<0.01)。因此后续沉香提取物给药质量浓度控制 100 μ g/mL 以内。

3.3 沉香提取物对皮质酮诱导的 PC12 细胞损伤模型细胞存活率的影响

如图 3 所示,与对照组比较,模型组 PC12 细

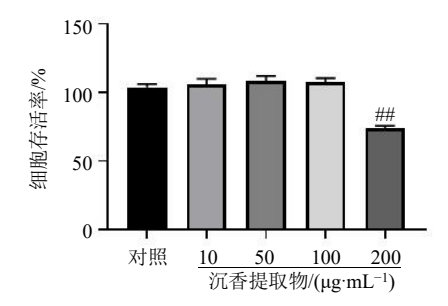
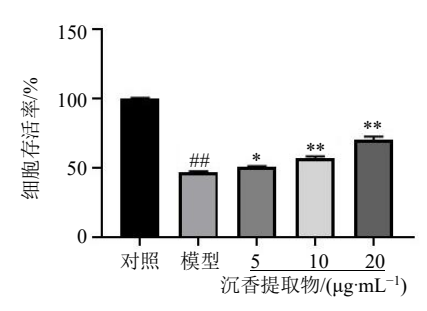


图 2 沉香提取物对 PC12 细胞存活率的影响 $(\bar{x} \pm s, n=3)$ Fig. 2 Effect of *Aquilariae Lignum Resinatum* extract on survival rate of PC12 cells $(\bar{x} \pm s, n=3)$



与对照组比较: ##P<0.01; 与模型组比较: *P <0.05 ** *P <0.01, 下图同

##P < 0.01 vs control group; *P < 0.05 **P < 0.01 vs model group, same as below figures

图 3 沉香提取物对皮质酮诱导的 PC12 细胞损伤模型细胞存活率的影响 $(\bar{x} \pm s, n = 6)$

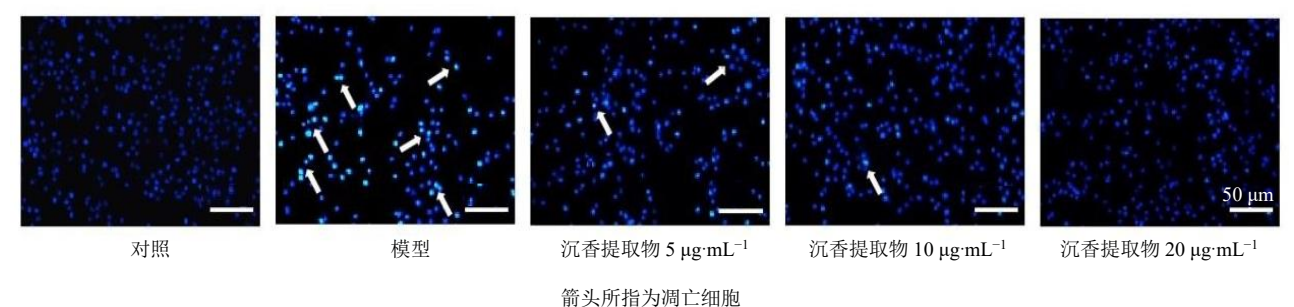
Fig. 3 Effect of Aquilariae Lignum Resinatum extract on survival rate of cells in corticosterone-induced PC12 cells injury model ($\bar{x} \pm s$, n = 6)

胞存活率显著降低 (P<0.01);与模型组比较,沉香提取物组细胞存活率均显著升高(P<0.05、0.01),且呈剂量相关性。提示沉香提取物对皮质酮诱导的神经元损伤有良好的保护作用。

3.4 沉香提取物对皮质酮诱导的 PC12 细胞损伤模型细胞凋亡的影响

Hoechst 33258 染色剂是一种核酸染料,能将凋亡细胞的细胞核标记为亮蓝色荧光。Hoechst 染色结果见图 4,其中箭头所指向为凋亡细胞,与对照组对比,模型组发出亮蓝色荧光的细胞数量明显增多,表明皮质酮能够导致 PC12 细胞损伤并诱发细胞凋亡;沉香提取物组发出亮蓝色荧光的细胞数目明显减少,且呈剂量相关性,表明沉香提取物能够抑制皮质酮诱导的 PC12 细胞凋亡。

Annexin V-FITC/PI 双染流式细胞术是一种极为灵敏的细胞凋亡检测手段。采用 Annexin V-FITC/PI 双染法对 PC12 细胞进行染色后,利用流式细胞仪对处于不同阶段的细胞进行分选。结果如图 5 所示,与对照组相比,模型组 Q2 象限晚期凋亡和 Q4 象限早期凋亡细胞均明显增加,细胞凋亡率显著升高 (P<0.01),表明皮质酮诱导 PC12 细胞凋亡;与模型组比较,沉香提取物组 Q2 和 Q4 象限细胞减少,细胞凋亡率降低,呈剂量相关性,其中沉香提取物(20 μg/mL)组具有显著性差异 (P<0.01),表明沉香提取物可通过抑制 PC12 细胞凋亡发挥保护作用。



arrows point to apoptotic cells

图 4 Hoechst 33258 染色检测细胞凋亡情况

Fig. 4 Cell apoptosis detected by Hoechst 33258 staining

3.5 沉香提取物对皮质酮诱导的 PC12 细胞损伤模型凋亡相关蛋白的影响

当细胞发生凋亡时,Caspase-3 发生剪切变成 cleaved Caspase-3,同时激活 PARP,诱导 PARP 蛋白发生剪切化,因此检测 Caspase-3 和 PARP 以及相应的剪切态的蛋白表达,进而探究沉香提取物调控 PC12 细胞凋亡的靶点。如图 6 所示,与对照组

比较,模型组细胞 cleaved PARP/PARP 和 cleaved Caspase-3/Caspase-3 蛋白表达水平显著升高 (P< 0.01);与模型组比较,沉香提取物组细胞 cleaved PARP/PARP 和 cleaved Caspase-3/Caspase-3 蛋白表达水平显著降低 (P<0.01),表明沉香提取物可以通过调控 Caspase-3/PARP 抑制 PC12 细胞凋亡,从而起到细胞保护作用。

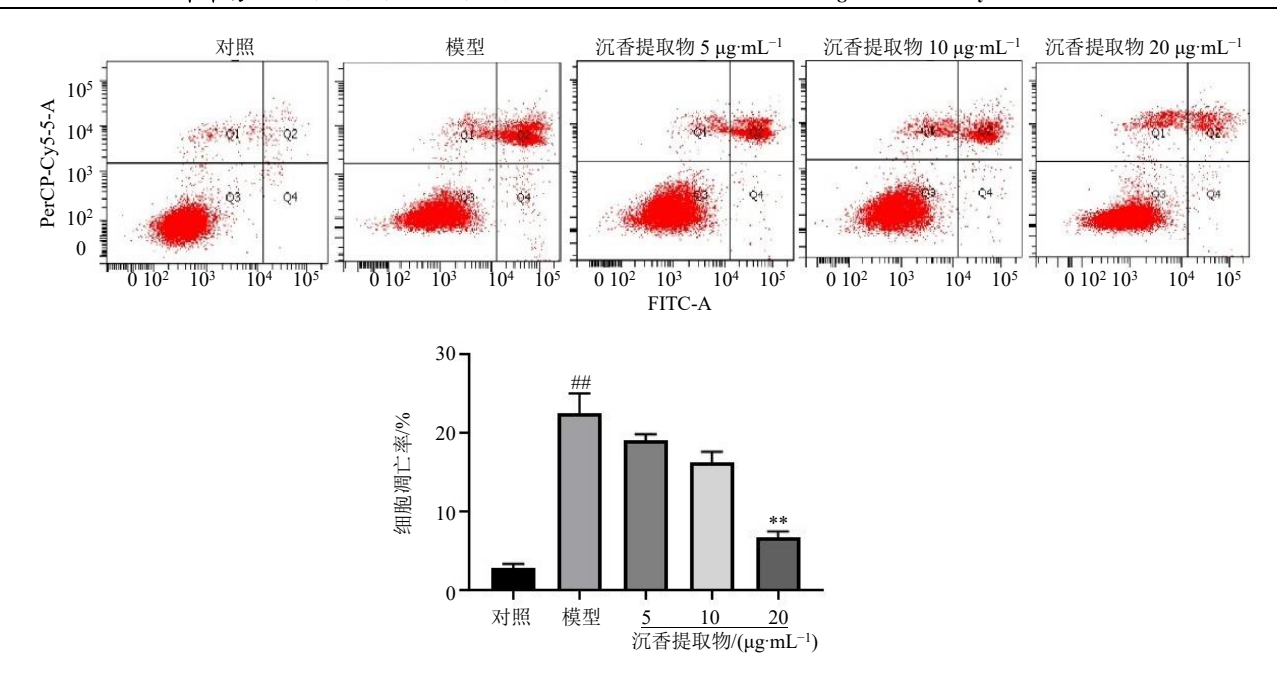


图 5 流式细胞术检测细胞凋亡率 $(\bar{x} \pm s, n = 3)$

Fig. 5 Cell apoptosis rate detected by flow cytometry ($\bar{x} \pm s$, n = 3)

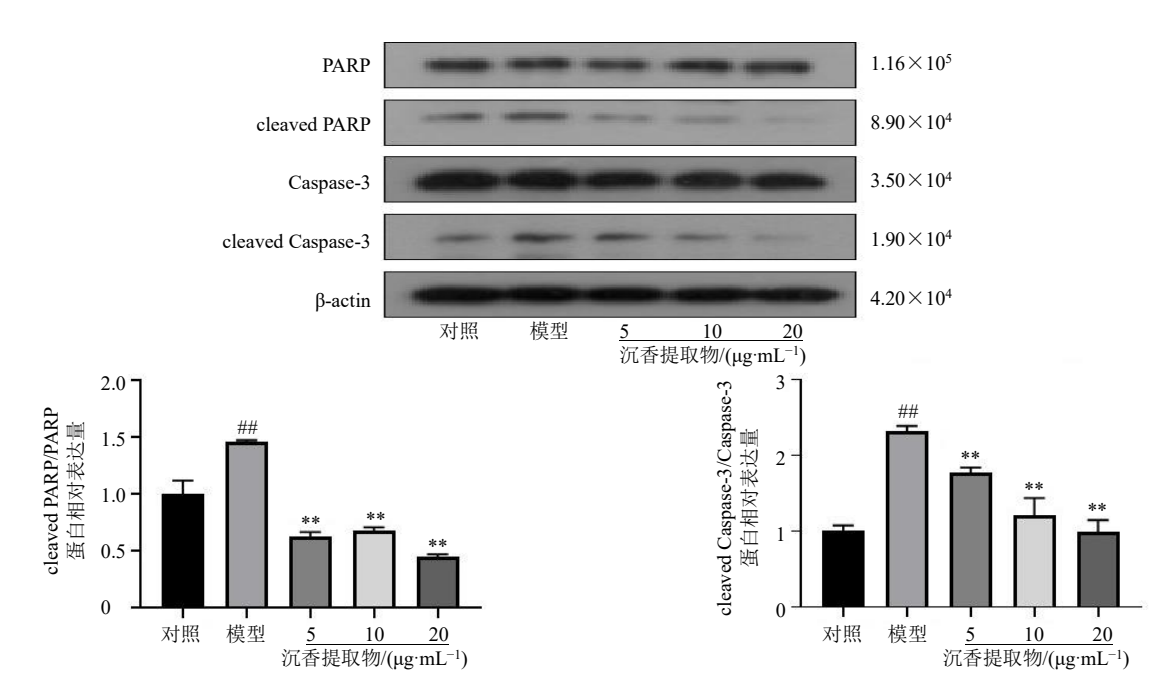


图 6 沉香提取物对皮质酮诱导的 PC12 细胞损伤模型凋亡相关蛋白的影响 $(\bar{x} \pm s, n = 3)$

Fig. 6 Effect of Aquilariae Lignum Resinatum extract on apoptosis related proteins expressions in corticosterone-induced PC12 cells injury model ($\bar{x} \pm s$, n = 3)

4 讨论

MDD 是一种精神健康障碍,是造成全球疾病 负担的主要因素,其特征为普遍且持续的情绪低落, 目前已经成为普遍关注的热点[11]。然而,由于其发 病机制不明、致病因素复杂,临床上使用的经典抗 抑郁药的疗效并不理想^[12]。苯二氮䓬类药物的长期 使用或联合使用药物可能会导致药物成瘾、嗜睡、运动障碍等严重的不良反应^[13]。因此,寻找长期使用安全且不会造成严重不良反应的天然药物十分必要。中药沉香作为传统的理气药,其化学成分和活性已被广泛报道^[14-15]。Wang 等^[16]通过动物行为学实验,证明了沉香挥发油具有抗焦虑和抗抑郁作用;

王灿红等[17]通过化合物靶点预测发现沉香有抗焦虑和抗抑郁的"双重调节"作用。然而,目前还没有关于沉香对于 GCs 诱导的神经元损伤的神经保护作用及其潜在机制的研究。

本课题组前期研究表明,持续暴露于高浓度 GCs 可抑制神经元生长和分化,导致海马神经细胞 DNA 损伤, 最终导致细胞凋亡[18]。用高浓度的皮质 酮诱导 PC12 细胞已被用作模拟神经元损伤的体外 经典实验模型。本研究通过不同浓度的皮质酮处理 PC12 细胞建立神经元损伤细胞模型,发现皮质酮显 著降低 PC12 细胞存活率,并以剂量相关性方式加 剧细胞死亡,故选择 400 μmol/L 皮质酮刺激 PC12 细胞 24 h 作为神经元细胞损伤模型的实验条件。如 果能保护神经元免受皮质酮的损伤,慢性应激引起 的神经功能障碍可能会减少。因此从神经元细胞保 护的角度,探究沉香提取物的抗抑郁作用。通过 CCK-8 法检测 PC12 细胞存活率,发现给予沉香提 取物后,细胞存活率呈剂量相关性升高,提示沉香 提取物对皮质酮诱导的神经元损伤有良好的保护作 用。通过 Hoechst 33258 染色法和流式细胞术检测 PC12 细胞凋亡情况,结果与文献报道一致[19],皮质 酮能够诱导 PC12 细胞的凋亡,沉香提取物可以剂 量相关性地抑制皮质酮诱导的 PC12 细胞凋亡。

为了探究沉香提取物抑制皮质酮诱导的 PC12 细胞凋亡的作用机制,考察细胞程序性凋亡途径相关蛋白 Caspase-3/PARP 以及对应剪切态蛋白的表达。Caspase-3 是细胞凋亡的关键执行者,部分或全部负责许多关键蛋白质的蛋白水解裂解。Caspase-3 激活后进一步切割 PARP 并触发染色体 DNA 断裂和片段化,最终导致细胞凋亡^[20]。Western blotting结果显示,皮质酮处理后能激活 Caspase-3 和 PARP的剪切,而沉香提取物以剂量相关性方式降低了cleaved PARP和 cleaved Caspase-3 的蛋白表达水平。表明皮质酮诱导 PC12 细胞 DNA 片段化并触发细胞凋亡,沉香提取物能有效地抑制细胞凋亡,从而起到细胞保护作用。

综上,本研究发现沉香提取物能够通过调控 Caspase-3/PARP蛋白,抑制皮质酮诱导的PC12细 胞凋亡,从而发挥神经元保护作用,沉香提取物可 以作为一种神经保护剂用于受到皮质酮损伤的神经 细胞,为沉香治疗焦虑与抑郁的临床应用提供理论 依据。

利益冲突 所有作者均声明不存在利益冲突

参考文献

- Herzog D P, Wagner S, Engelmann J, et al. Early onset of depression and treatment outcome in patients with major depressive disorder [J]. J Psychiatr Res, 2021, 139: 150-158.
- [2] Xiong N N, Liu Q, Lv X Z, et al. Demographic and psychosocial variables could predict the occurrence of major depressive disorder, but not the severity of depression in patients with first-episode major depressive disorder in China [J]. J Affect Disord, 2020, 274: 103-111.
- [3] Santen R J, Jewell C M, Yue W, et al. Glucocorticoid receptor mutations and hypersensitivity to endogenous and exogenous glucocorticoids [J]. J Clin Endocrinol Metab, 2018, 103(10): 3630-3639.
- [4] Sorrells S F, Munhoz C D, Manley N C, *et al.* Glucocorticoids increase excitotoxic injury and inflammation in the hippocampus of adult male rats [J]. *Neuroendocrinology*, 2014, 100(2/3): 129-140.
- [5] Chen Y X, Qin C, Huang J H, *et al*. The role of astrocytes in oxidative stress of central nervous system: A mixed blessing [J]. *Cell Prolif*, 2020, 53(3): e12781.
- [6] Jin W Q, Ma R, Zhai L, et al. Ginsenoside Rd attenuates ACTH-induced corticosterone secretion by blocking the MC2R-cAMP/PKA/CREB pathway in Y1 mouse adrenocortical cells [J]. Life Sci, 2020, 245: 117337.
- [7] 王灿红, 王帅, 刘洋洋, 等. 通体结香技术产沉香的药效学研究进展及药用开发前景 [J]. 生物资源, 2021, 43(4): 328-335.
- [8] Hashim Y Z, Kerr P G, Abbas P, et al. Aquilaria spp. (agarwood) as source of health beneficial compounds: A review of traditional use, phytochemistry and pharmacology [J]. J Ethnopharmacol, 2016, 189: 331-360.
- [9] 霍会霞, 孙慧, 张云封, 等. 中药沉香的药理作用和质量控制研究进展 [J]. 中国医院用药评价与分析, 2018, 18(2): 152-155.
- [10] 王灿红, 彭德乾, 刘洋洋, 等. 沉香醇提物对大鼠气滞血瘀心肌缺血的保护作用 [J]. 药物评价研究, 2019, 42(7): 1279-1285.
- [11] Repple J, Mauritz M, Meinert S, et al. Severity of current depression and remission status are associated with structural connectome alterations in major depressive disorder [J]. Mol Psychiatry, 2020, 25(7): 1550-1558.
- [12] Liu S, O'Donnell J, Gladden R M, *et al*. Trends in nonfatal and fatal overdoses involving benzodiazepines- 38 states and the district of Columbia, 2019-2020 [J]. *MMWR Morb Mortal Wkly Rep*, 2021, 70(34): 1136-1141.
- [13] Osler M, Jørgensen M B. Associations of benzodiazepines,

- Z-drugs, and other anxiolytics with subsequent dementia in patients with affective disorders: A nationwide cohort and nested case-control study [J]. *Am J Psychiatry*, 2020, 177(6): 497-505.
- [14] 霍会霞. 沉香的化学成分分析及抗动脉粥样硬化作用 机制研究 [D]. 北京: 北京中医药大学, 2019.
- [15] Wang S, Yu Z X, Wang C H, *et al.* Chemical constituents and pharmacological activity of agarwood and *Aquilaria* plants [J]. *Molecules*, 2018, 23(2): E342.
- [16] Wang S, Wang C H, Yu Z X, et al. Agarwood essential oil ameliorates restrain stress-induced anxiety and depression by inhibiting HPA axis hyperactivity [J]. Int J Mol Sci, 2018, 19(11): E3468.

- [17] 王灿红, 王帅, 彭德乾, 等. 沉香挥发油成分-靶点预测研究 [J]. 中国药学杂志, 2019, 54(23): 1958-1964.
- [18] Yun H Y, Jeong Y. *Sedum takesimense* protects PC12 cells against corticosterone-induced neurotoxicity by inhibiting neural apoptosis [J]. *Nutrients*, 2020, 12(12): 3713.
- [19] Jin W Q, Xu X H, Chen X N, et al. Protective effect of pig brain polypeptides against corticosterone-induced oxidative stress, inflammatory response, and apoptosis in PC12 cells [J]. Biomed Pharmacother, 2019, 115: 108890.
- [20] McComb S, Chan P K, Guinot A, *et al.* Efficient apoptosis requires feedback amplification of upstream apoptotic signals by effector caspase-3 or -7 [J]. *Sci Adv*, 2019, 5: 9433.

[责任编辑 李亚楠]